

(106) 粒状体シミュレーションによる斜面崩壊の解析

東京大学地震研究所 植村大輔
伯野元彦

1. 序

昨年の長野県西部地震では、大規模な斜面崩壊が発生した。その挙動を解明するため、いくつかの試みがなされた。しかし、こうした動的解析においては、連続体として取扱いでは不十分であると考えられる。

そこで本研究では、カンドールの離散剛要素法を応用し、土が多くの弾性体の球の集合からなることし、球と球との間の力のやり取り式を構築し、それを全部の球について建立させて解くことにより、定性的に斜面崩壊のシミュレーションを行なった。

2. 解析手法

1) 离散剛要素法の利用による修正

カンドールの離散剛要素法 (Discrete Block Method) では、岩盤を筋理で区切られた岩盤アロックと想定し、そのアロックを多角形要素を用いて表現し、頂点ごとに接觸における作用力を考えている。けれども、この方法では接觸判定が困難であるので、本研究では、各要素を弾性体の球であると仮定して解析を進めた。

2) 初期条件の設定

初期の各要素の中心の座標と半径を、一様乱数プログラムを用いて設定した。図-1(2)、このプログラムを用いた場合の度数分布を示している。

3) 接触の判定

図-2に示すように、要素 i (中心座標 (x_i, y_i, z_i) , 半径 r_i) が要素 j (同 (x_j, y_j, z_j) , 同 r_j) に接近した時、接触する条件は次式で判定される。

$$r_i + r_j \geq ((x_i - x_j)^2 + (y_i - y_j)^2 + (z_i - z_j)^2)^{\frac{1}{2}} = R_{ij} \quad (1)$$

4) 接触時の作用力

(1)式が満たされていいる際の作用力を、本研究では次のように仮定した。今、ひずみ ϵ を

$$\epsilon = (r_i + r_j - R_{ij}) / r_i \quad (2)$$

と表わし、球 i と球 j に対する相対速度 \vec{V}_{ij}

$$\vec{V}_{ij} = (U_j - U_i, V_j - V_i, W_j - W_i) \quad (3)$$

と、2つの球の接点の法線方向ベクトル \vec{n}_{ij}

$$\vec{n}_{ij} = (x_j - x_i, y_j - y_i, z_j - z_i) \quad (4)$$

から、それらのなす角 θ を内線により求められる。これに、定数 k_n を乗じ、法線方向の反力 f_n 、せん断方向 f_s は、

$$\Delta f_n = k_n \cdot \cos \theta \cdot \epsilon \quad (5)$$

$$\Delta f_s = k_n \cdot \sin \theta \cdot \epsilon \quad (6)$$

と表現できる。次に図-2に示すように、 x 軸方向の球 i 、球 j の反時計回りの角速度を $\omega_{ixy}, \omega_{iyx}$ とする

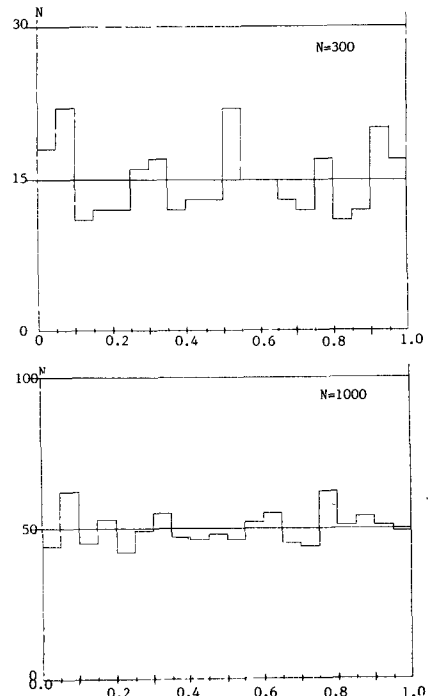


図-1 亂数の度数分布 (Nは要素数)

ここで、球 i は定数 k_s を用い、

$$f_{ixy} = k_s (r_i w_{ixy} + r_j w_{jxy}) \quad (7)$$

という力を受けた。これに(6)式の xy 平面に投影した力をあわせたものを xy 平面の接線方向力 ΔU_{sxy} とし

$$\Delta U_{sxy} = f_{ixy} + \Delta f_s \times \sqrt{(x_i - x_j)^2 + (y_i - y_j)^2} \mp R_{ij}$$

と表現される。 $-i$ 、(5)式を xy 平面に投影した力が xy 平面の法線方向力 ΔU_{nxz}

$$\Delta U_{nxz} = \Delta f_n \times \sqrt{(x_i - x_j)^2 + (y_i - y_j)^2} \mp R_{ij}$$

となるが、これらの大さきは動摩擦係数 μ' 、静止摩擦係数 μ 、粘着力 C から、次の関係を持つ。

$$\Delta U_{sxy} < \mu \cdot \Delta U_{nxz} + C \quad \text{ここで}, \Delta U_{sxy} < 0.0$$

$$\Delta U_{sxy} > \mu \cdot \Delta U_{nxz} + C \quad \text{ここで}, \Delta U_{sxy} = \Delta U_s - (\mu' \Delta U_{nxz} + C)$$

この計算を、 ZX 平面方向、 YZ 平面方向についても同様に行なう。

こうして得られた力を各軸に再投影させ、次式のように各軸方向加速度を求める。

$$\ddot{x}_i = (\Delta U_{sxy} \cos \theta_{xy} - \Delta U_{nxz} \sin \theta_{xy} + \Delta U_{szx} \cos \theta_{zx} + \Delta U_{nyz} \sin \theta_{zx}) / m$$

(θ_{xy} 等のこり方は図-2を参照されたい)。他の加速度成分、角加速度成分も同様に(7)求まる。

複数の球と接触する場合、また、地面や壁面との接触の場合も同様に扱う。

5) 破碎

Bond の理論によれば、岩石は衝突しあ、た際、次の理論によ、て粉碎が進むとする。すなまち、粒径 r_i の岩石 W 、 W エネルギーを受け粉碎し、粒径 r_i に有、た時、これらには

$$W = C_B \left(\frac{1}{r_i} - \frac{1}{R_i} \right)$$

という関係がある。(ただし、 C_B は岩石に固有の定数)。

本研究では、この式を使用することによ、て破碎についても考慮した。

6) 差分近似

3)~5)の計算を、微少な時間ステップ Δt 毎に行な、たりく。時間ステップ間の関係は、ルンゲ・クッタ法を用いて表した。一例として、 X 軸方向の加速度 \ddot{x}_i 、速度 \dot{x}_i 、位置 x_i の関係を以下に示す。

$$[\dot{x}_i]_{t+\Delta t} = [\dot{x}_i]_t + \frac{1}{2} \cdot \Delta t \cdot ([\ddot{x}_i]_t + [\ddot{x}_i]_{t+\Delta t})$$

$$[\ddot{x}_i]_{t+\Delta t} = [\dot{x}_i]_t + \Delta t \cdot [\ddot{x}_i]_t + (\Delta t)^2 / 6 \cdot (2[\ddot{x}_i]_{t+\Delta t} + [\ddot{x}_i]_t)$$

7) 計算量の縮少

以上のように、本シミュレーションでは、莫大な計算を要するので、次のよう工夫をした。

ある時間ステップにおいて、2つの球の距離がある値よりも大きい場合、時間 t が経過するまでは接触がないものとし、接触判定を省略する。これを全部の球について行なうことによ、て計算量を減らす。

3. 定数の決定

2)に示した仮定に基づき、以下に示すようなシミュレーションを行な、た。また、多くの定数は試行錯誤で決定し、た。なお、すべての定数をMKJの単位で取り扱、た。

図-3は、2つの球の衝突、図4は球が壁面に衝突した場合のひねかえり、図-5は、破碎の様子を、图-6は0.1秒ごとに示したものである。これらはすべて、 $M=0.1$ 、 $M'=0.1$ 、 $C=0$ 、 $\Delta t=10^{-3}$ 秒、 $t'=10^3$ 秒、 $L=r_i+r_j+1$ (m)、 $K_n=0.2 \times 10^3$ 、 $C_B=20.0$ (kWh/t)として得られた結果である。

これらの実験のみでは、まだ定数の妥当性を検証し得ないが、本研究では、これらの値を用いて解析を行な、

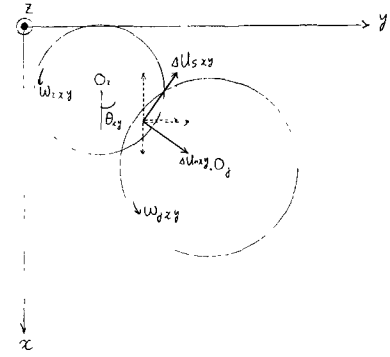


図-2 xy 平面方向に働く力

た。

4. 解析例

図-7は、2次元平面内で斜面崩壊をシミュレーションしたものである。

$T = 0.05$ のものは ab, bc, cd でいう壁で土を支えている状態を示している。 $T = 0.15$ 以下は、壁 cd を除去してからの時間、崩壊の様子を示している。また、図-6は、図-7の $T = 0.05$ の図に示す6つの球の、0.1秒毎の重心軌跡を示したものである。これを見て、A・Dといふ大きな要素が、B・C等よりもよく動いていることがわかる。 F は3つ例外だが、これは静止摩擦係数を0.1と小さくしておいたものである。実際の斜面崩壊や土石流では大きな石・木等が流れの先端を行くことが多いと言われているがよくシミュレーションでは、これが示されている。

5. 結論

本研究では、簡単な解析例を示すことにとどめた。今後は、各定数を厳密に決定し、また、3次元での解析を行う、いくつもありである。そこで、各定数を変化させた場合の挙動を解析し、定数がいかに斜面崩壊に与える影響を調べる予定である。

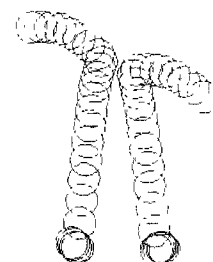


図-3 球同士の衝突
($R=1.0m$)

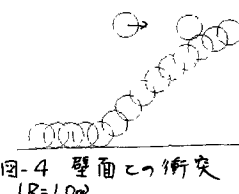


図-4 壁面との衝突
($R=1.0m$)

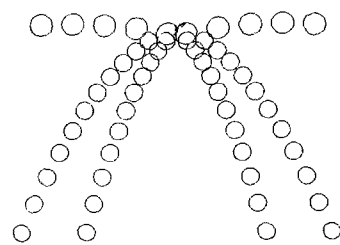


図-5 要素の破碎
($R=1.0m \rightarrow 0.79m$)

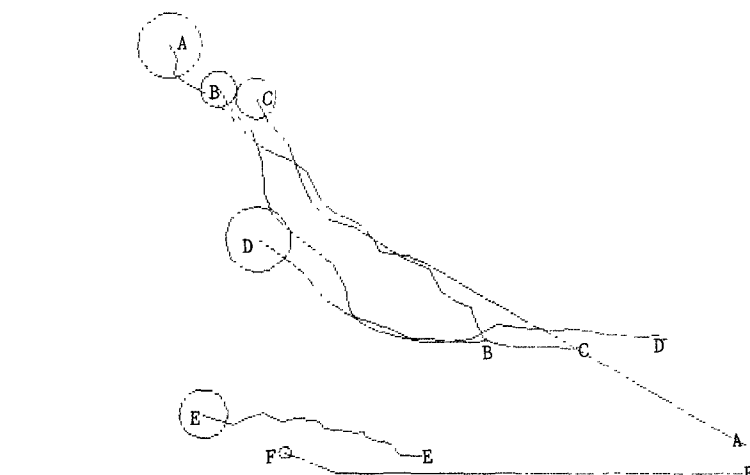


図-6 6つの球の軌跡 (3D)

